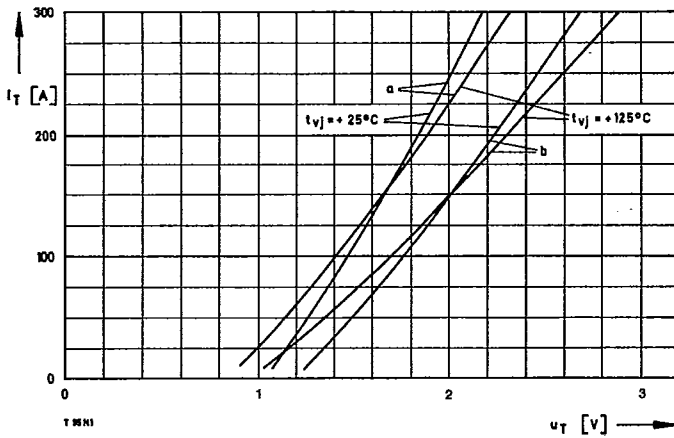
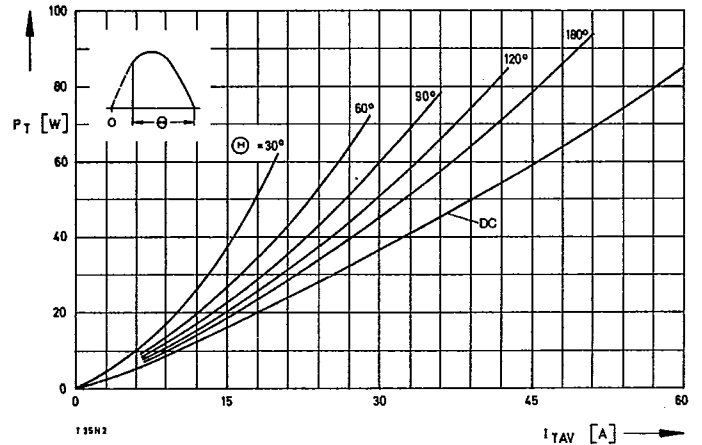


Typenreihe/Type range	T 35 N	400*	600	800	900	1000	1100	1200	1400	1600	1800*
Elektrische Eigenschaften		Electrical properties									
Höchstzulässige Werte		Maximum permissible values									
U_{DRM}, U_{RRM}	Periodische Vorwärts- und Rückwärts-Spitzensperrspannung									400...1800	V
I_{TRMSM}	Effektiver Durchlaßstrom									80	A
I_{TAVM}	Daugrenzstrom									35	A
										51	A
										470	A
I_{TRM}	Periodischer Spitzenstrom									1100	A
I_{TSM}	Stoßstrom-Grenzwert									900	A
										6000	A ² s
∫I²dt	Grenzlastintegral									4000	A ² s
(di/dt)_{cr}	Kritische Stromsteilheit									600	A/μs
										120	A/μs
										400	V/μs
										1000	V/μs
Charakteristische Werte		Characteristic values									
U_T	Obere Durchlaßspannung									2	V
U_(TO)	Schleusenspannung									1	V
r_T	Ersatzwiderstand									6,8	mΩ
U_{GT}	Obere Zündspannung									1,4	V
I_{GT}	Oberer Zündstrom									120	mA
	Unterer Zündstrom									5	mA
I_H	Oberer Haltestrom									200	mA
I_L	Oberer Einraststrom									500	mA
										20	mA
I_D, I_R	Oberer Vorwärts- und Rückwärts-Sperrstrom									4,5	μs
t_{gd}	Oberer Zündverzug									120	μs
t_q	Typische Freierdezeit									1,2	nF
C_{null}	Typische Nullkapazität										
Thermische Eigenschaften		Thermal properties									
R_{thJC}	Innerer Wärmewiderstand									≤ 0,72	°C/W
	Betriebstemperatur									≤ 0,678	°C/W
	Lagertemperatur									- 40°C...+125°C	
										- 40°C...+150°C	
Mechanische Eigenschaften		Mechanical properties									
G	Si-Element mit Druckkontakt									60	g
M	Gewicht									8	Nm
	Anzugsdrehmoment									Seite/page	233
	Maßbild									6	mm
	Kriechstrecke									C	
	Feuchteklasse									5x9,81	m/s ²
	Schüttelfestigkeit										

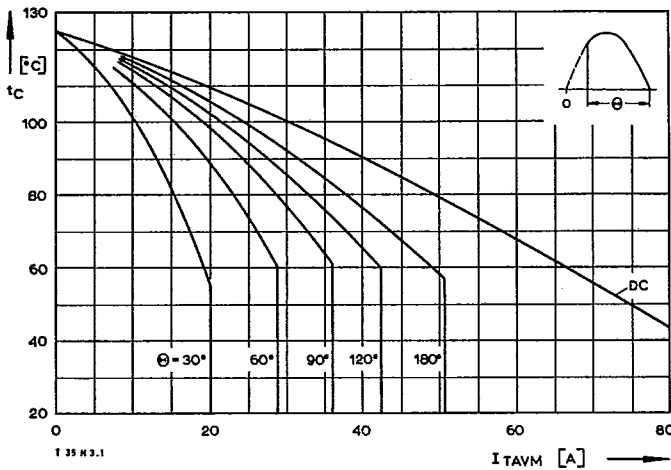
* Für größere Stückzahlen bitte Liefertermin erfragen/Delivery for larger quantities on request



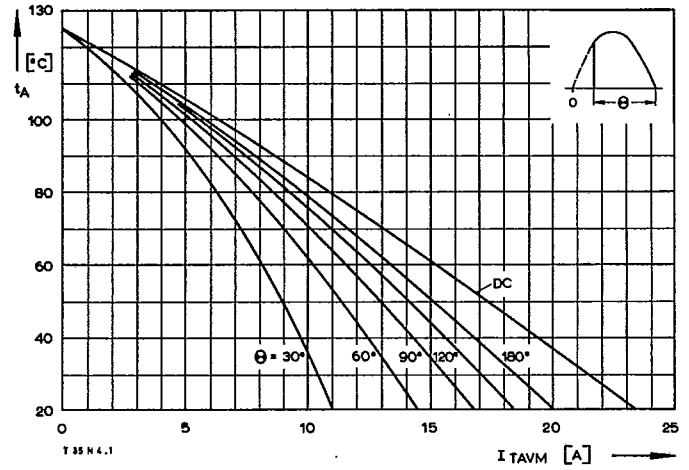
Bild/Fig. 1
Durchlaßkennlinien/On-state characteristics
a – Typische Kennlinien/typical characteristics
b – Grenzkennlinien/limiting characteristics



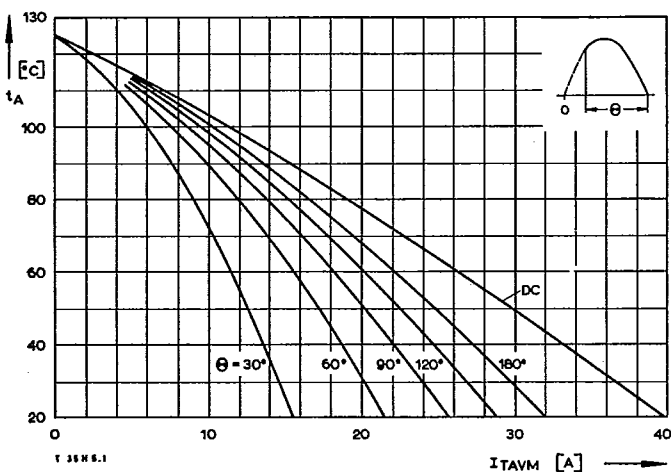
Bild/Fig. 2
Durchlaßverlustleistung P_T/On-state power loss P_T
Parameter: Stromflußwinkel theta/Current conduction angle theta



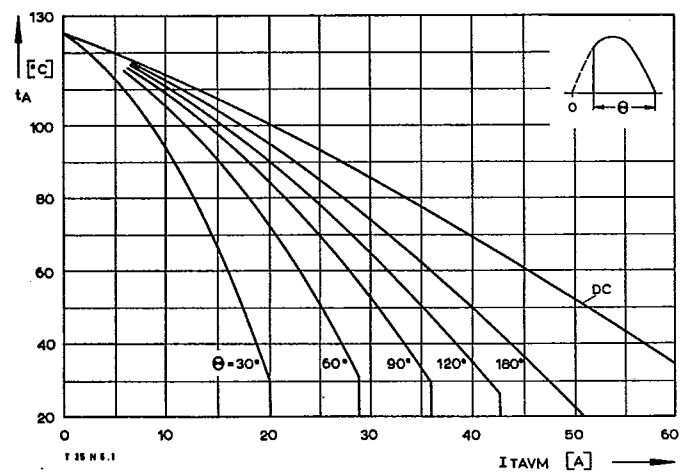
Bild/Fig. 3
Höchstzulässige Gehäusetemperatur t_c
Maximum allowable case temperature t_c



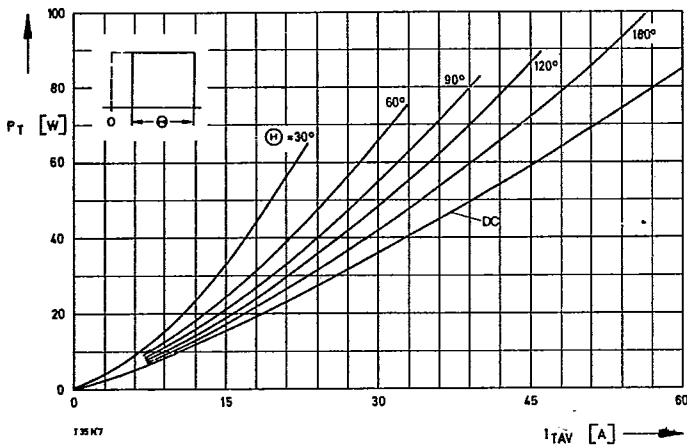
Bild/Fig. 4
Höchstzulässige Kühlmitteltemperatur t_A bei Luftselbstkühlung, Kühlkörper KL 21.
Maximum allowable cooling medium temperature t_A at natural cooling, heatsink type KL 21.



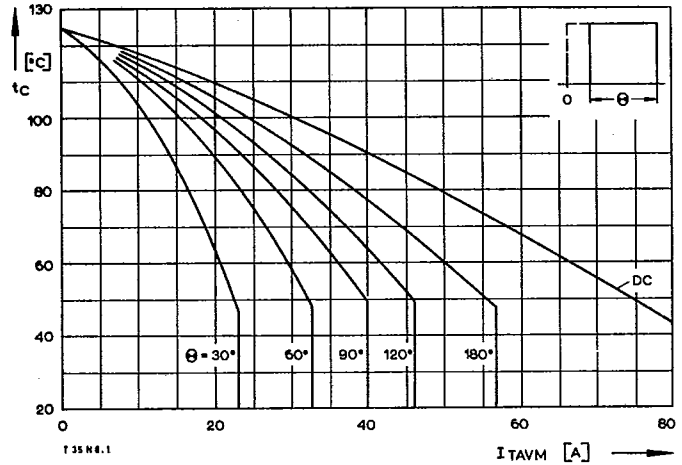
Bild/Fig. 5
Höchstzulässige Kühlmitteltemperatur t_A bei Luftselbstkühlung, Kühlkörper KL 42
Maximum allowable cooling medium temperature t_A at natural cooling, heatsink type KL 42



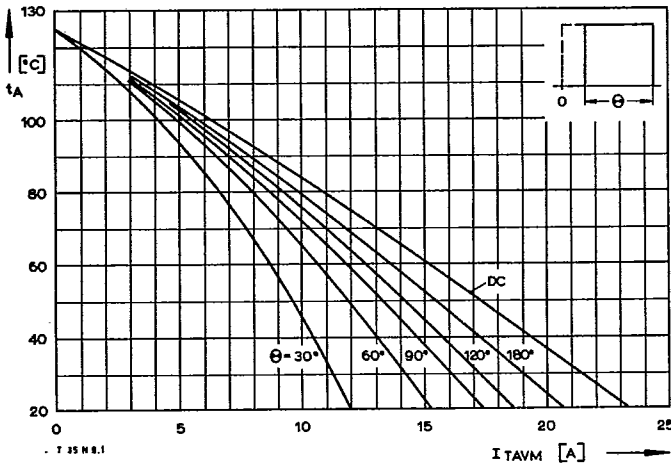
Bild/Fig. 6
Höchstzulässige Kühlmitteltemperatur t_A bei verstärkter Luftkühlung, Kühlkörper KL 42
Maximum allowable cooling medium temperature t_A at forced cooling, heatsink type KL 42



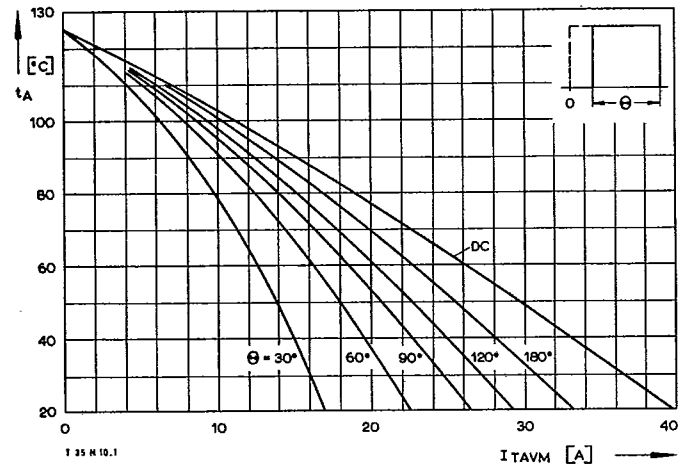
Bild/Fig. 7
Durchlaßverlustleistung P_T /On-state power loss P_T
Parameter: Stromflußwinkel Θ /current conduction angle Θ



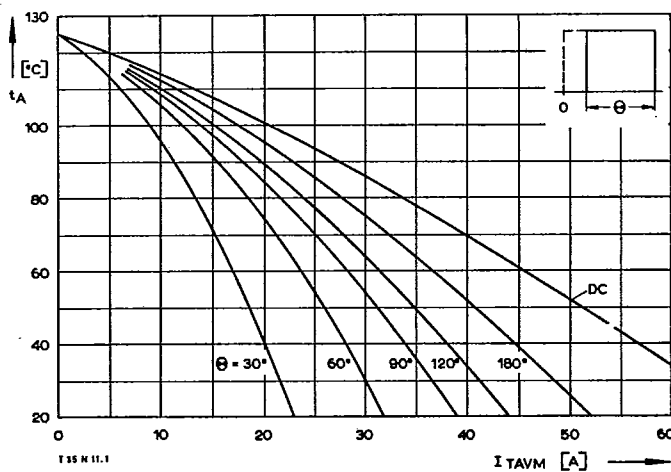
Bild/Fig. 8
Höchstzulässige Gehäusetemperatur t_c
Maximum allowable case temperature t_c



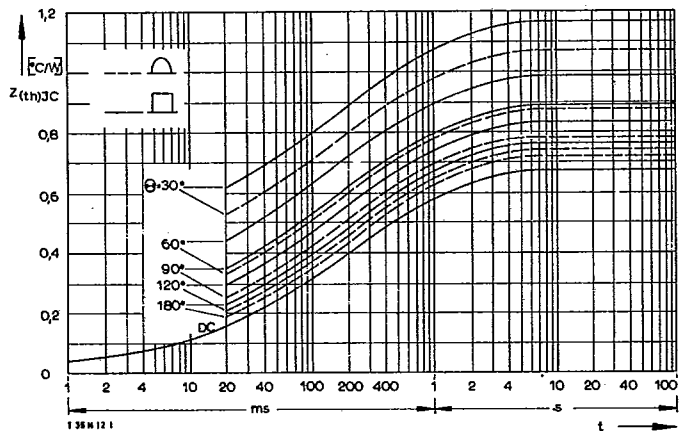
Bild/Fig. 9
Höchstzulässige Kühlmitteltemperatur t_A bei Luftselbstkühlung,
Kühlkörper KL 21.
Maximum allowable cooling medium temperature t_A at natural cooling,
heatsink type KL 21.



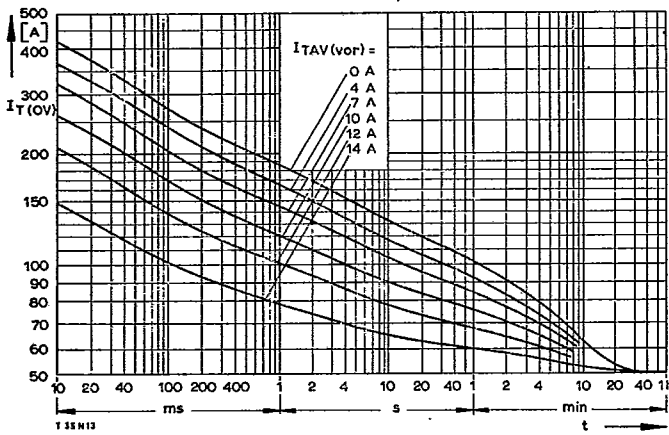
Bild/Fig. 10
Höchstzulässige Kühlmitteltemperatur t_A bei Luftselbstkühlung,
Kühlkörper KL 42
Maximum allowable cooling medium temperature t_A at natural cooling,
heatsink type KL 42



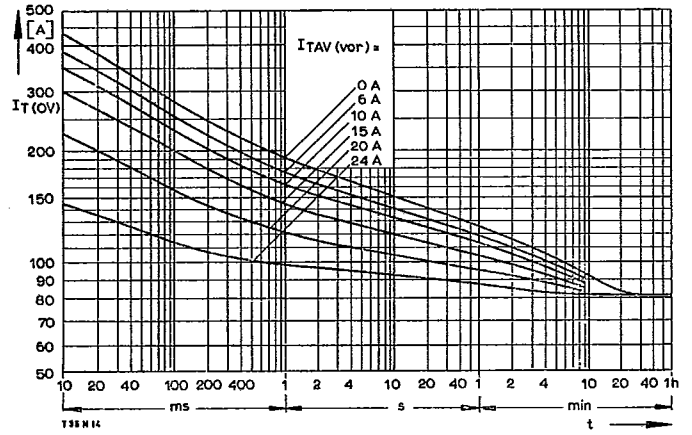
Bild/Fig. 11
Höchstzulässige Kühlmitteltemperatur t_A bei verstärkter Luftkühlung,
Kühlkörper KL 42
Maximum allowable cooling medium temperature t_A at forced cooling,
heatsink type KL 42



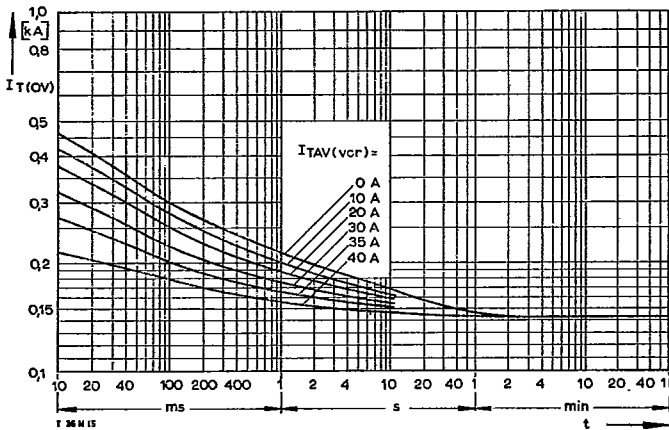
Bild/Fig. 12
Transienter innerer Wärmewiderstand $Z_{(th)JC}$ bei sinus- und rechteckförmigem
Stromverlauf.
Transient thermal impedance $Z_{(th)JC}$, junction to case at sinusoidal and
square wave current.



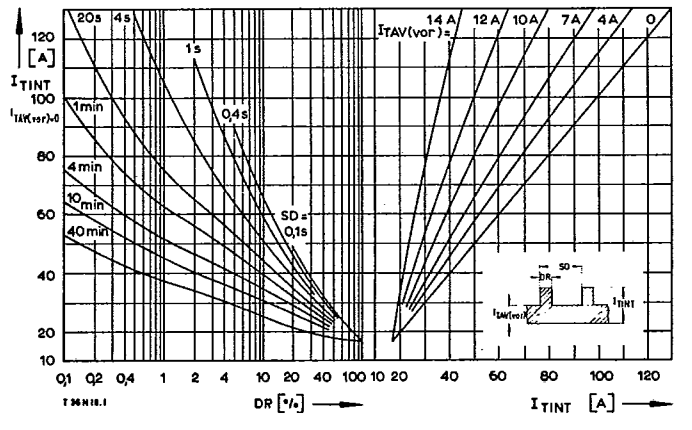
Bild/Fig. 13
 Überstrom $I_{T(OV)}$ bei **Luftselbstkühlung**, $t_A = 45^\circ\text{C}$, Kühlkörper **KL 21**.
 Overload on-state current $I_{T(OV)}$ at **natural cooling**, $t_A = 45^\circ\text{C}$,
 heatsink type **KL 21**.
 Parameter: Vorlaststrom/pre-load current $I_{TAV(vor)}$



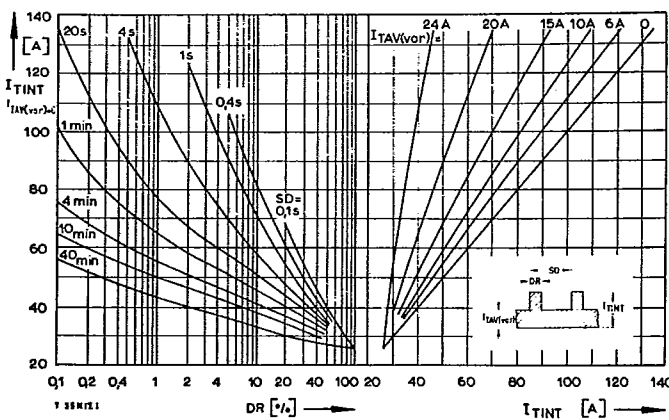
Bild/Fig. 14
 Überstrom $I_{T(OV)}$ bei **Luftselbstkühlung**, $t_A = 45^\circ\text{C}$, Kühlkörper **KL 42**.
 Overload on-state current $I_{T(OV)}$ at **natural cooling**, $t_A = 45^\circ\text{C}$,
 heatsink type **KL 42**.
 Parameter: Vorlaststrom/pre-load current $I_{TAV(vor)}$



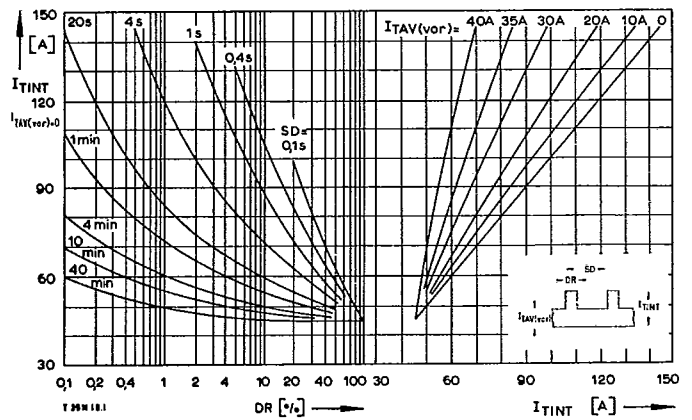
Bild/Fig. 15
 Überstrom $I_{T(OV)}$ bei **verstärkter Luftkühlung**, $t_A = 35^\circ\text{C}$, Kühlkörper **KL 42**.
 Overload on-state current $I_{T(OV)}$ at **forced cooling**, $t_A = 35^\circ\text{C}$,
 heatsink type **KL 42**.
 Parameter: Vorlaststrom/pre-load current $I_{TAV(vor)}$



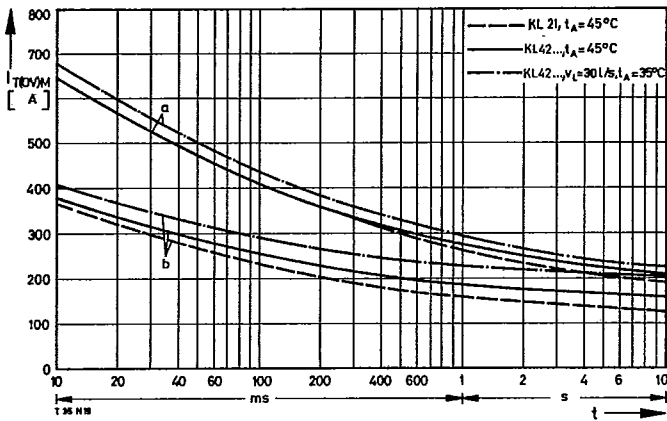
Bild/Fig. 16
 Höchstzulässiger Durchlaßstrom I_{TINT} bei Aussetzbetrieb und **Luftselbstkühlung**,
 $t_A = 45^\circ\text{C}$, Kühlkörper **KL 21**.
 Limiting on-state current I_{TINT} during intermittent operation at **natural cooling**,
 $t_A = 45^\circ\text{C}$, heatsink type **KL 21**.
 Parameter: Spieldauer/cycle duration **SD**
 Vorlaststrom/pre-load current $I_{TAV(vor)}$



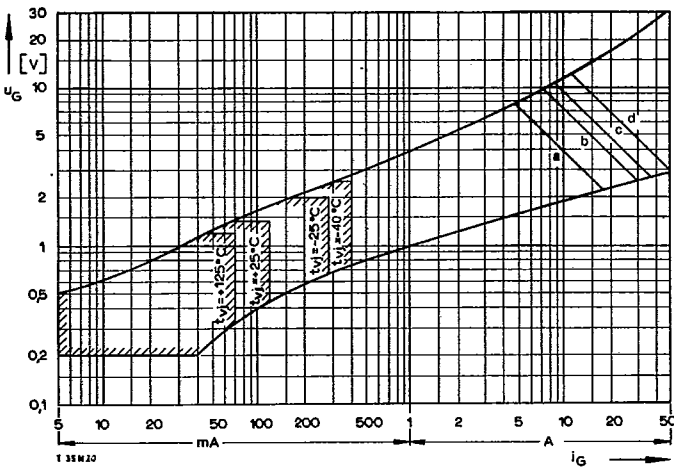
Bild/Fig. 17
 Höchstzulässiger Durchlaßstrom I_{TINT} bei Aussetzbetrieb und **Luftselbstkühlung**,
 $t_A = 45^\circ\text{C}$, Kühlkörper **KL 42**.
 Limiting on-state current I_{TINT} during intermittent operation at **natural cooling**,
 $t_A = 45^\circ\text{C}$, heatsink type **KL 42**.
 Parameter: Spieldauer/cycle duration **SD**
 Vorlaststrom/pre-load current $I_{TAV(vor)}$



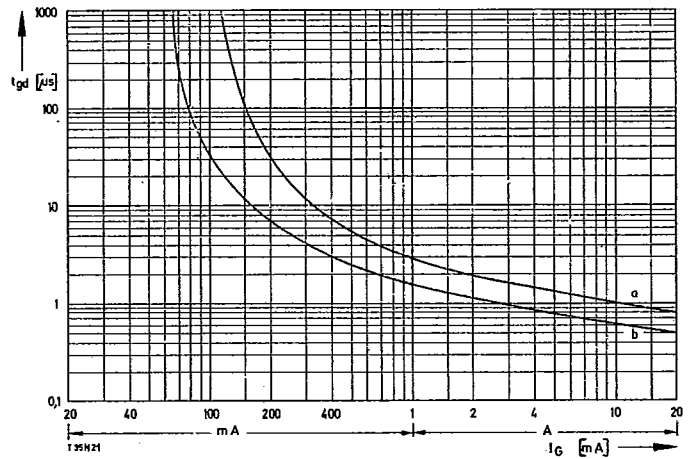
Bild/Fig. 18
 Höchstzulässiger Durchlaßstrom I_{TINT} bei Aussetzbetrieb und **verstärkter**
 Luftkühlung, $t_A = 35^\circ\text{C}$, Kühlkörper **KL 42**.
 Limiting on-state current I_{TINT} during intermittent operation at **forced cooling**,
 $t_A = 35^\circ\text{C}$, heatsink type **KL 42**.
 Parameter: Spieldauer/cycle duration **SD**
 Vorlaststrom/pre-load current $I_{TAV(vor)}$



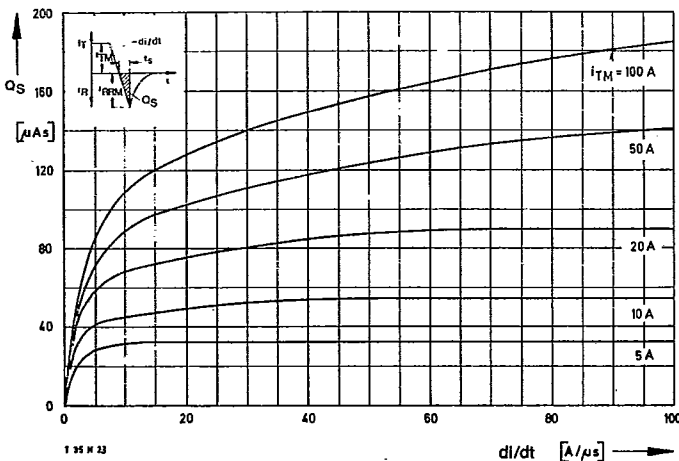
Bild/Fig. 19
 Grenzstrom $I_{T(OV)}$ bei Luftselbstkühlung und verstärkter Luftkühlung, Kühlkörper KL 21 und KL 42 ..., $U_{RM} = 0,8 U_{RRM}$.
 Limiting overload on-state current $I_{T(OV)}$ at natural and forced cooling, heatsink type KL 21 and KL 42 ..., $U_{RM} = 0,8 U_{RRM}$.
 a – Belastung aus Leerlauf/current surge under no-load conditions
 b – Belastung nach Betrieb mit Dauergrenzstrom I_{TAVM} /current surge occurs during operation at limiting mean on-state current rating I_{TAVM}



Bild/Fig. 20
 Zündbereich und Spitzensteuerleistung bei $u_D \geq 6 V$.
 Gate characteristic and peak gate power dissipation at $u_D \geq 6 V$.
 Parameter: a b c d
 Steuerimpulsdauer/Pulse duration t_g [ms] 10 1 0,5 0,1
 Höchstzulässige Spitzensteuerleistung/Maximum allowable peak gate power [W] 40 80 100 150



Bild/Fig. 21
 Zündverzögerung t_{gd} bei $i_{TM} = 10 A$, $t_{ij} = 25^\circ C$.
 Gate controlled delay time t_{gd} at $i_{TM} = 10 A$, $t_{ij} = 25^\circ C$.
 a – äußerster Verlauf/limiting characteristic
 b – typischer Verlauf/typical characteristic



Bild/Fig. 22
 Nachlaufladung Q_S in Abhängigkeit von der abkommütierenden Stromsteilheit $-di/dt$ bei $t_{ij} = 125^\circ C$.
 Der angegebene Verlauf wird von 90% aller Thyristoren nicht überschritten.
 Lag charge Q_S versus the rate of decay of the forward on-state current $-di/dt$ at $t_{ij} = 125^\circ C$.
 These curves are valid for 90% of all thyristors.